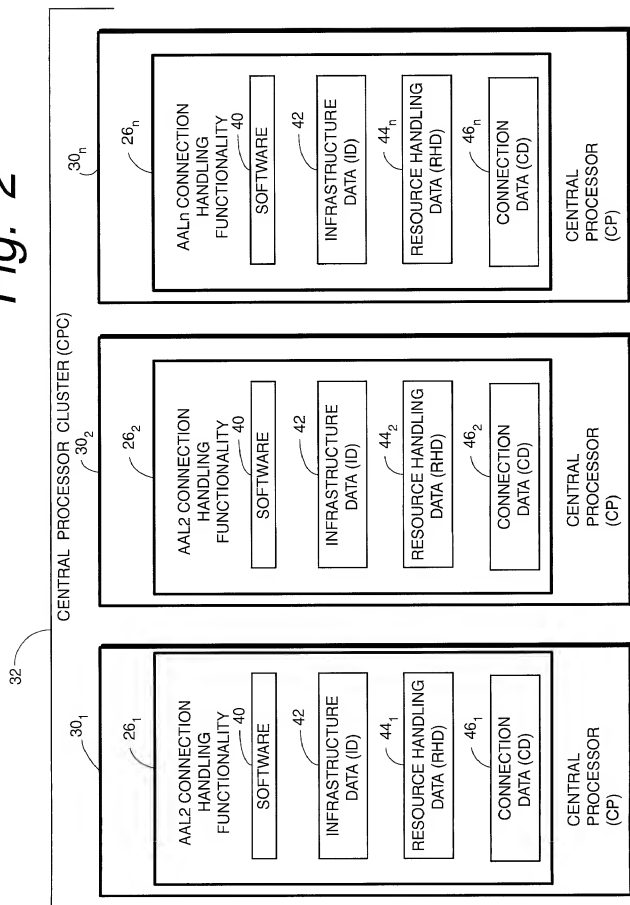
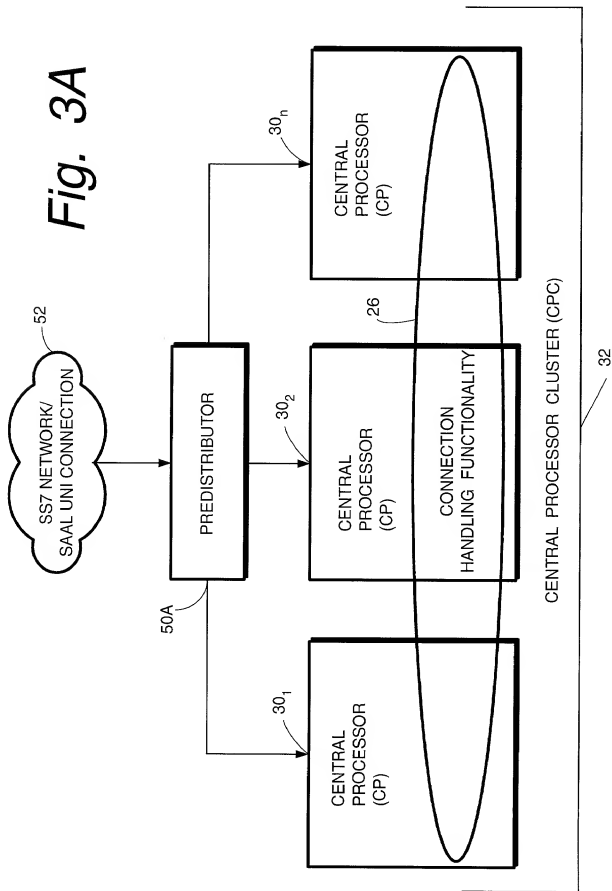


Fig. 1

Fig. 2





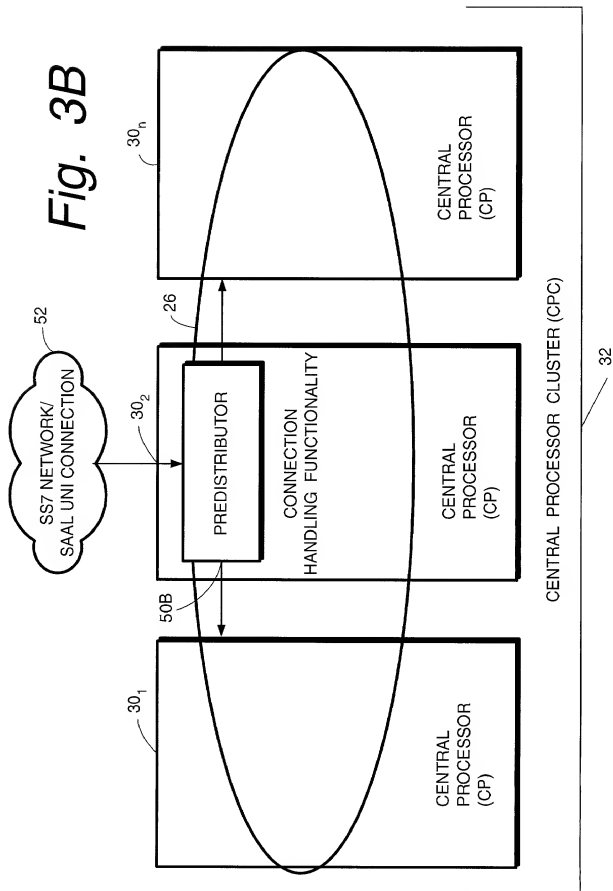
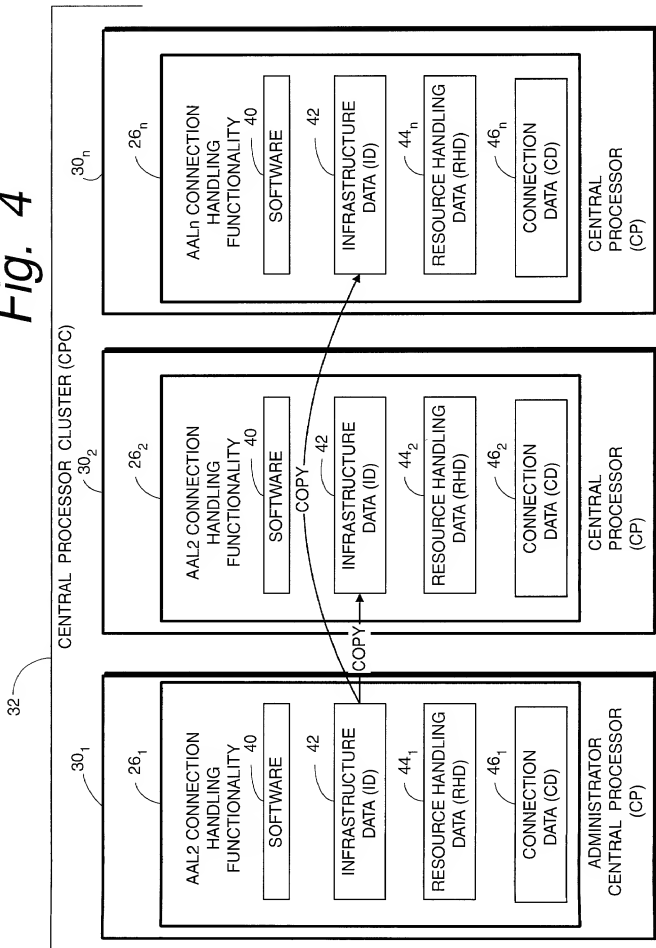


Fig. 4



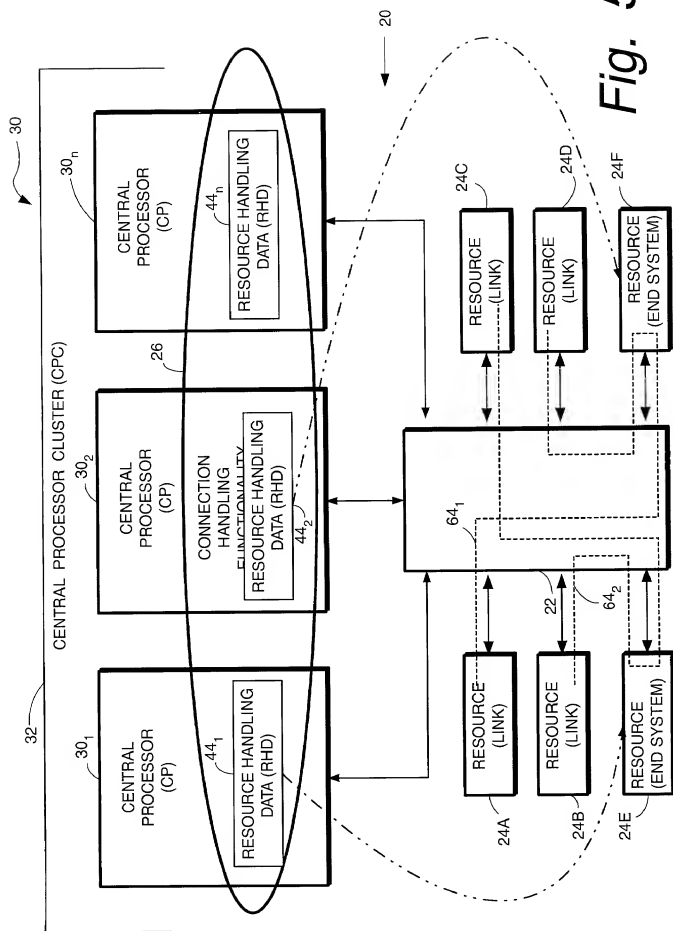


Fig. 5

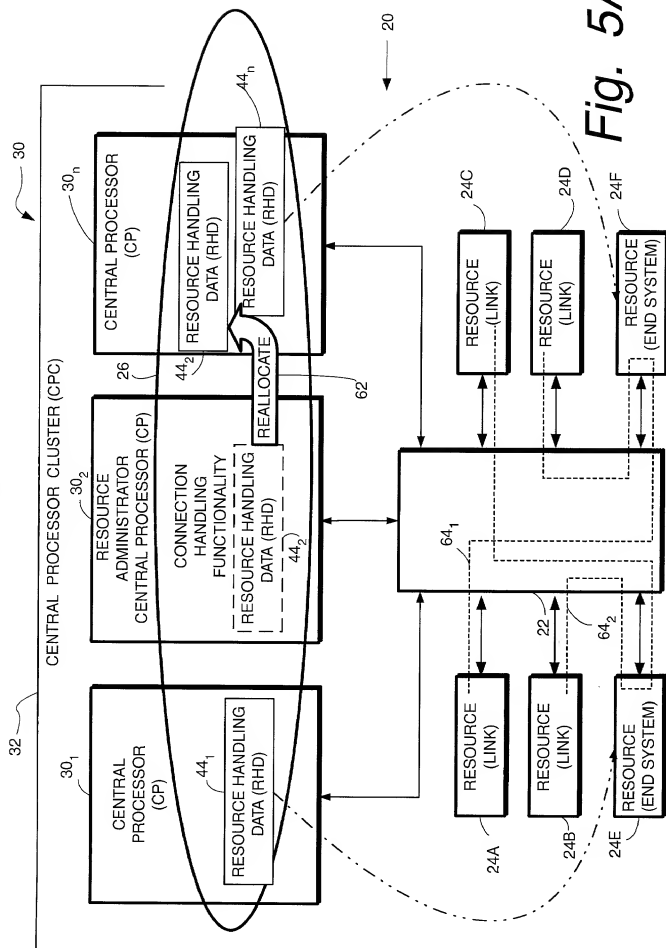


Fig. 5A

Fig. 6

CONNECTION MODEL

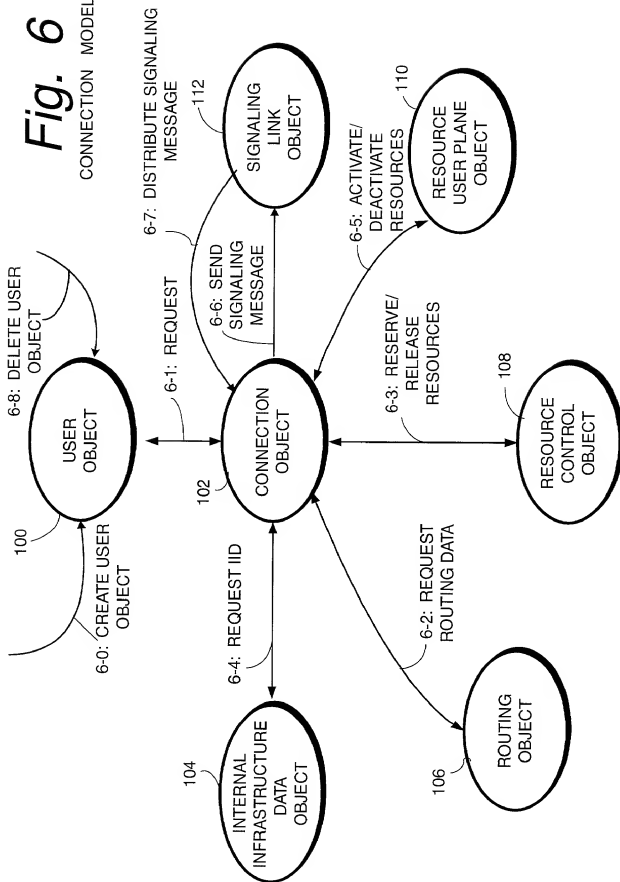


Fig. 7

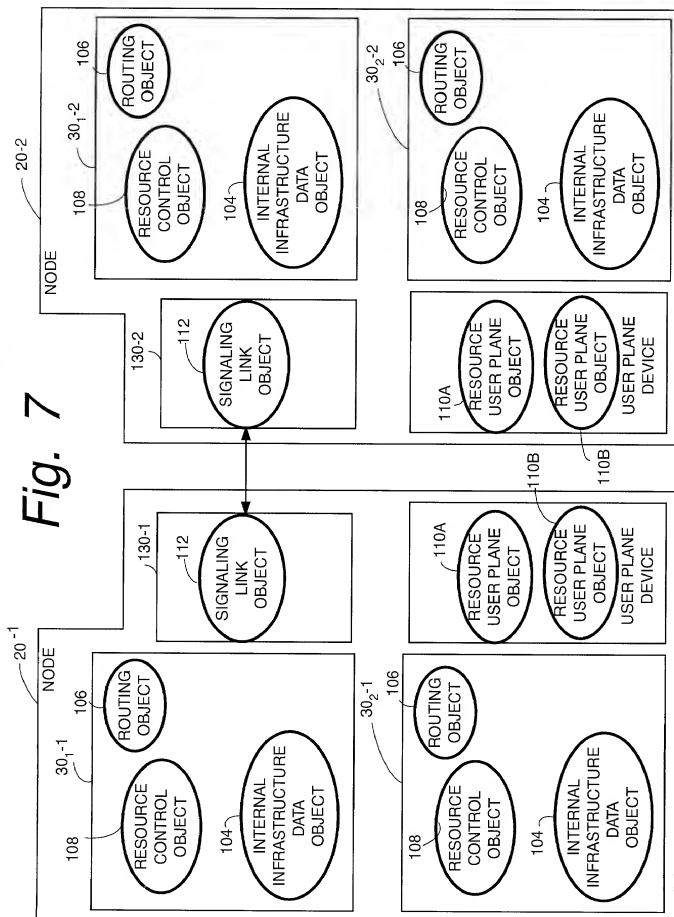
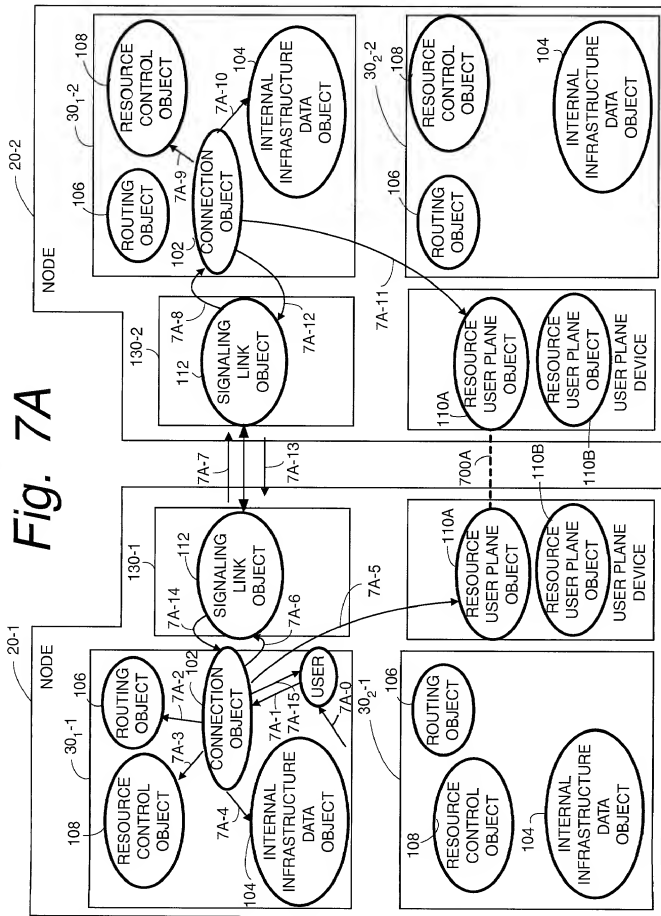
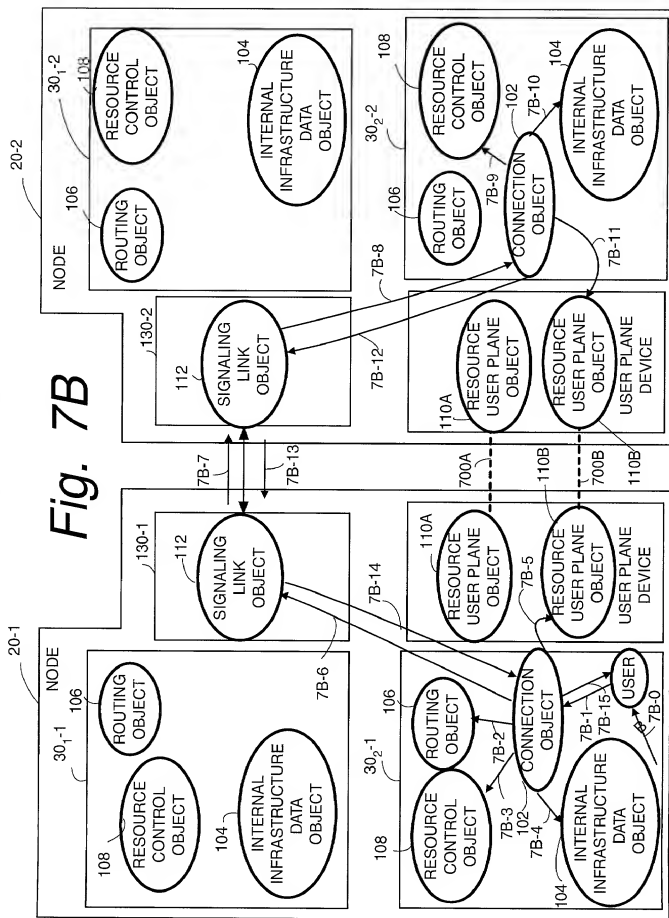


Fig. 7A





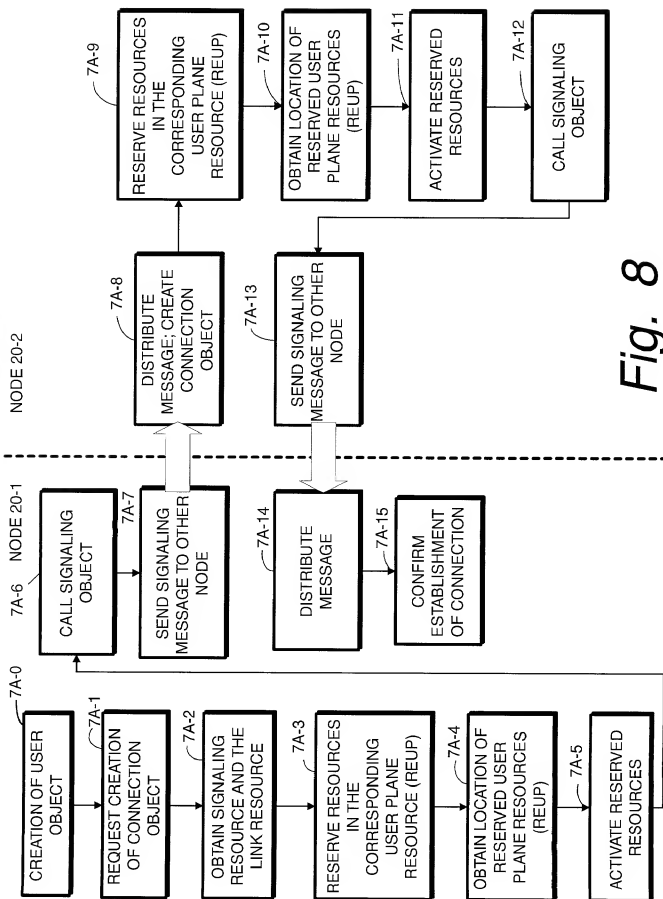
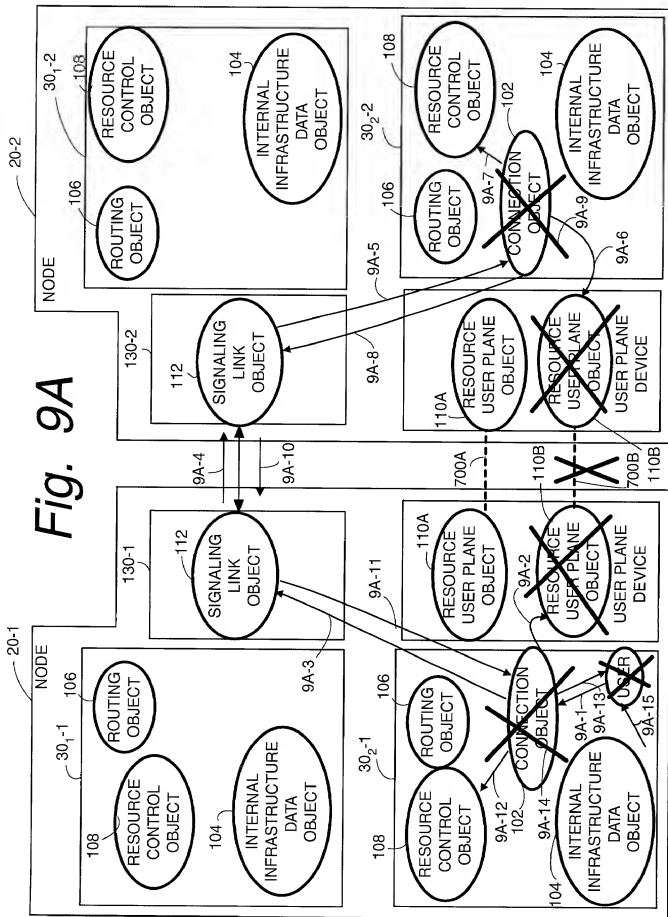
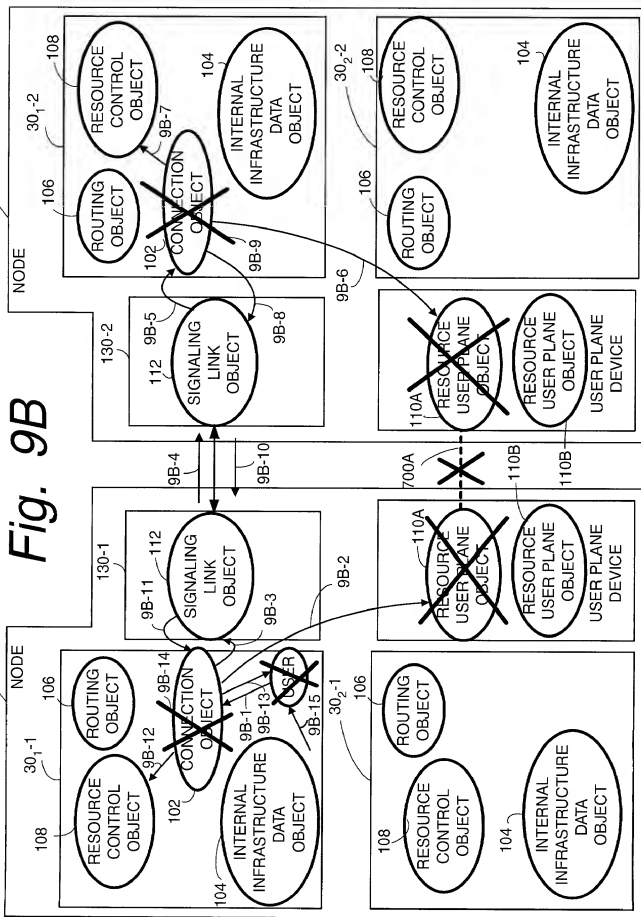


Fig. 8

20-2





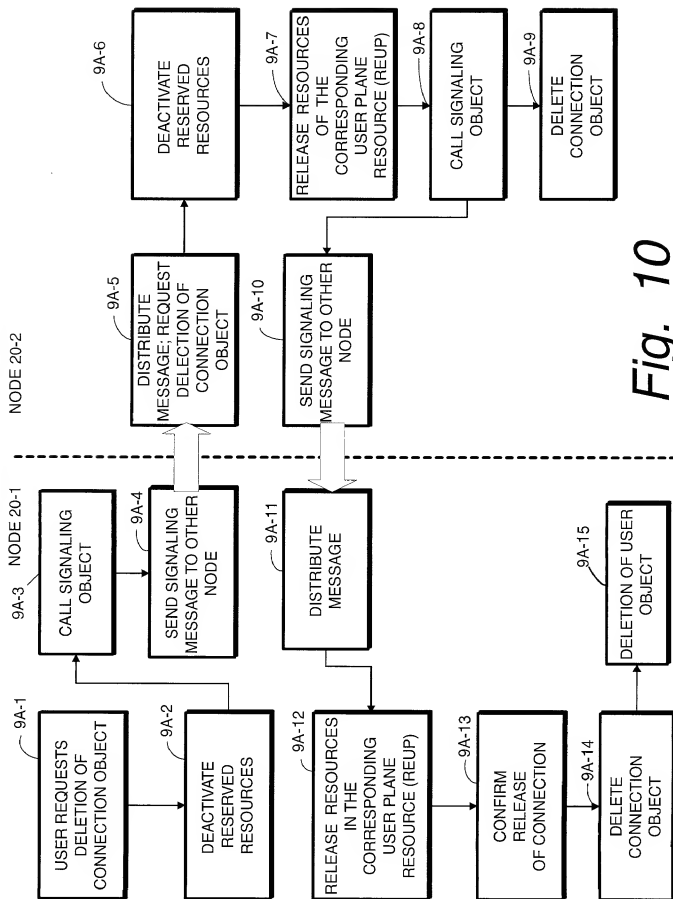
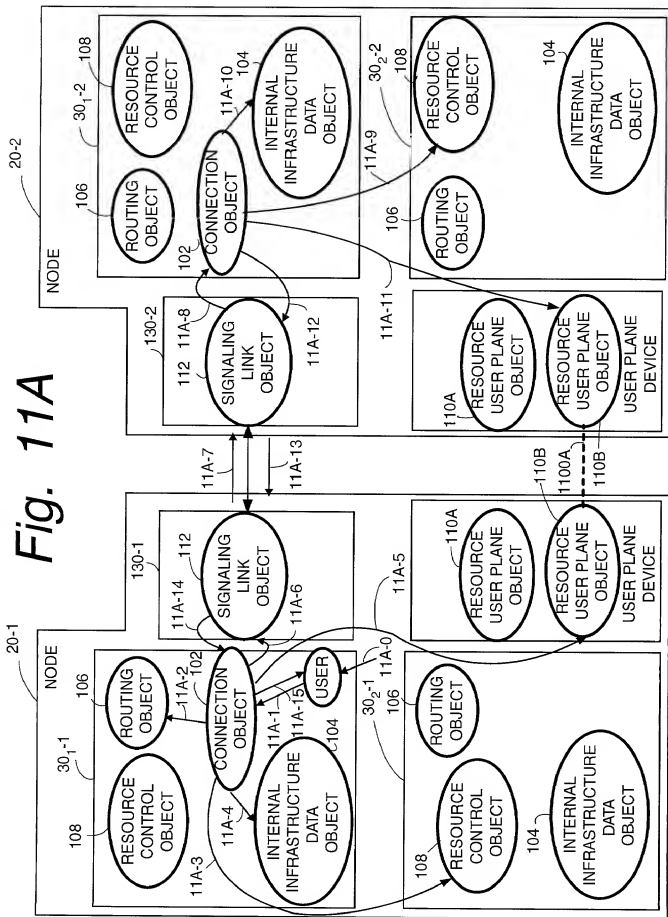
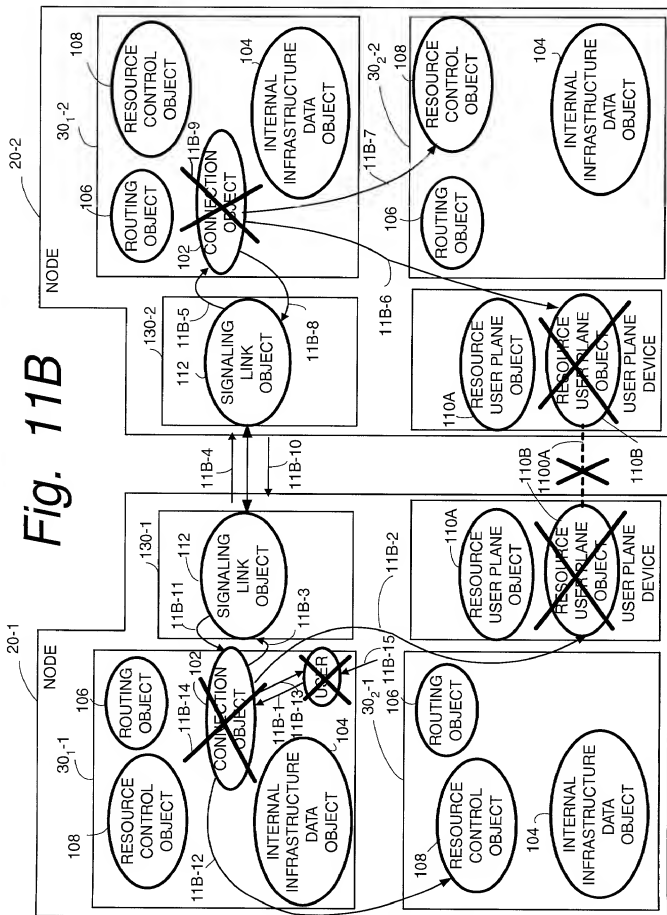


Fig. 10



20-1



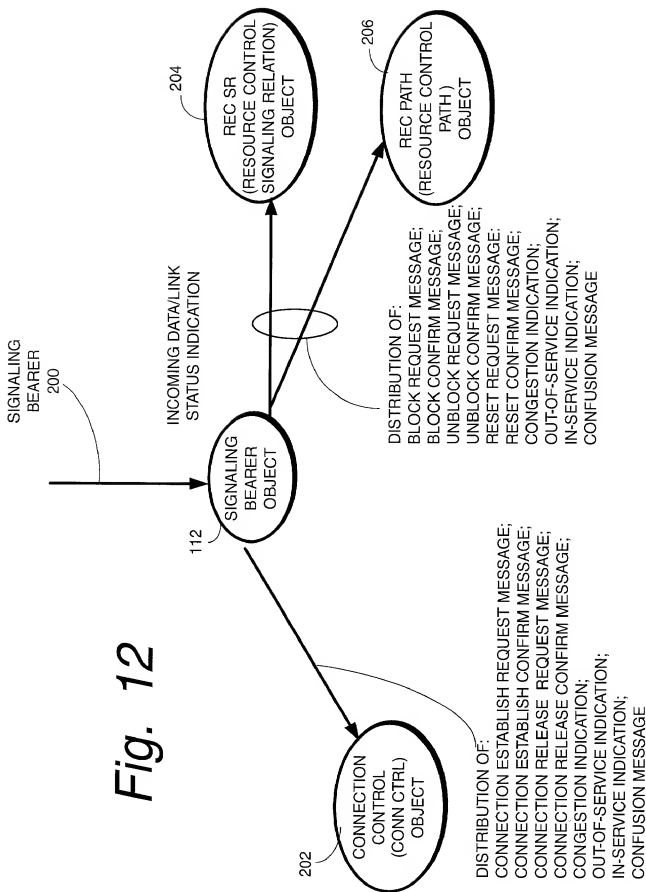


Fig. 13

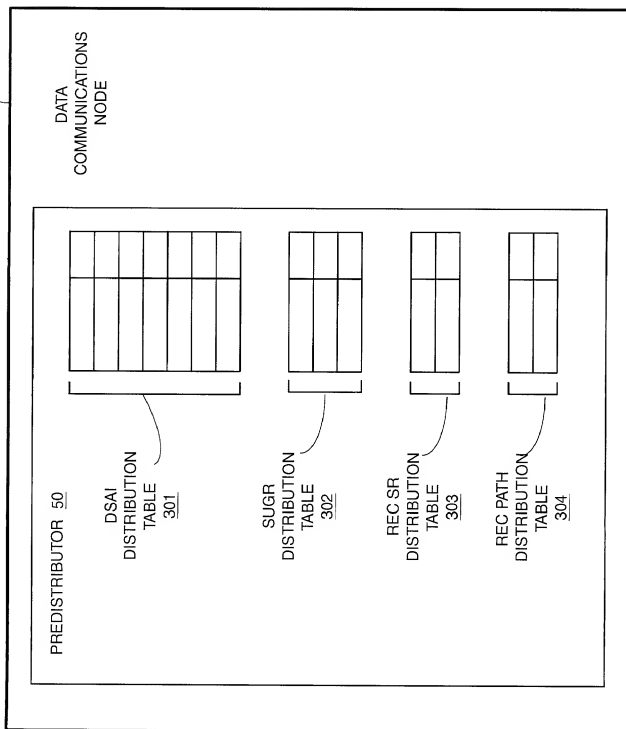


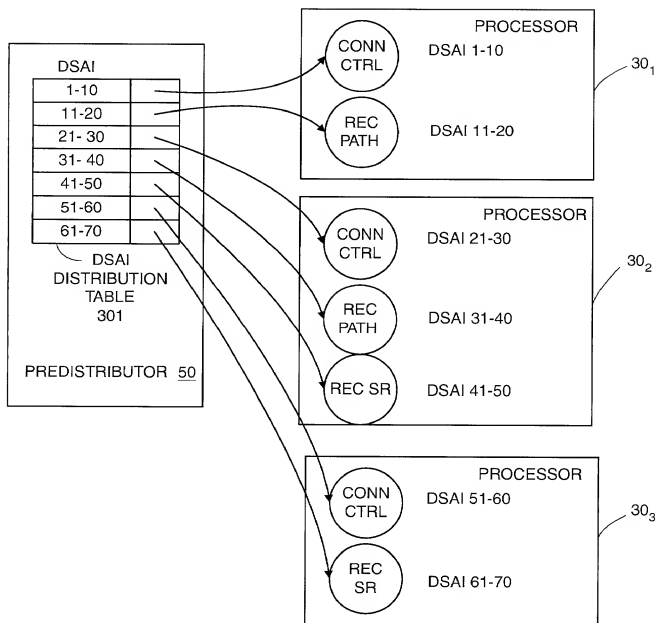
Fig. 13-1

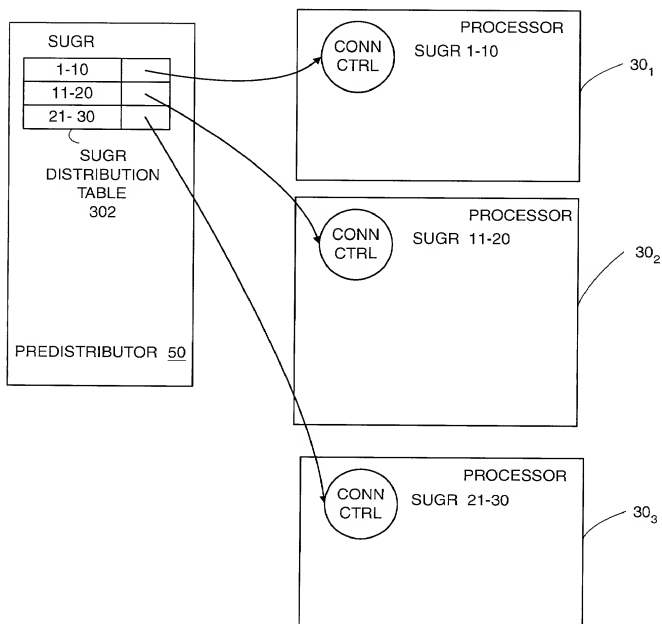
Fig. 13-2

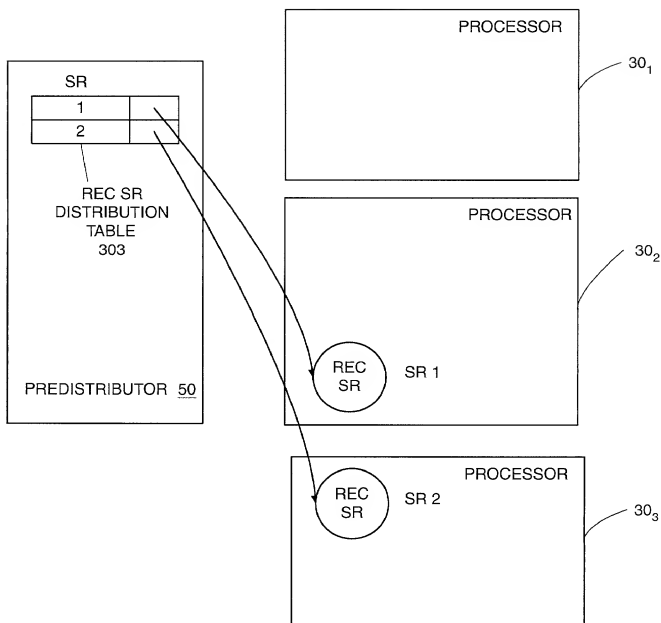
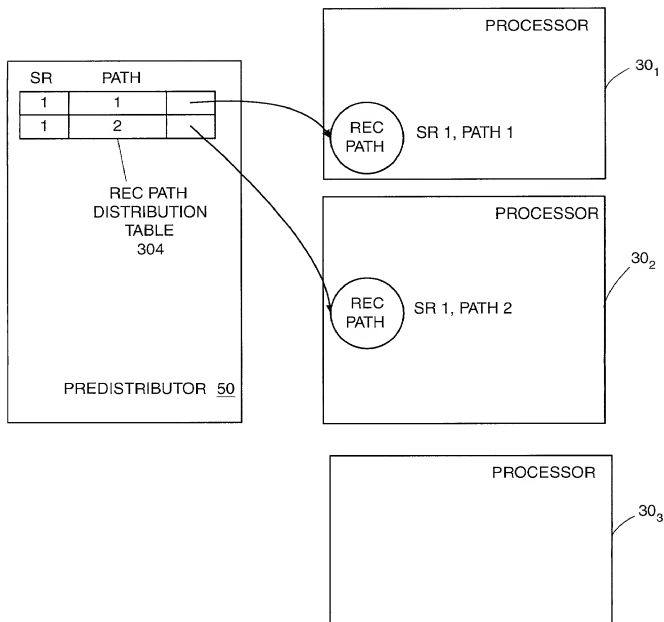
Fig. 13-3

Fig. 13-4

104277-02/52000

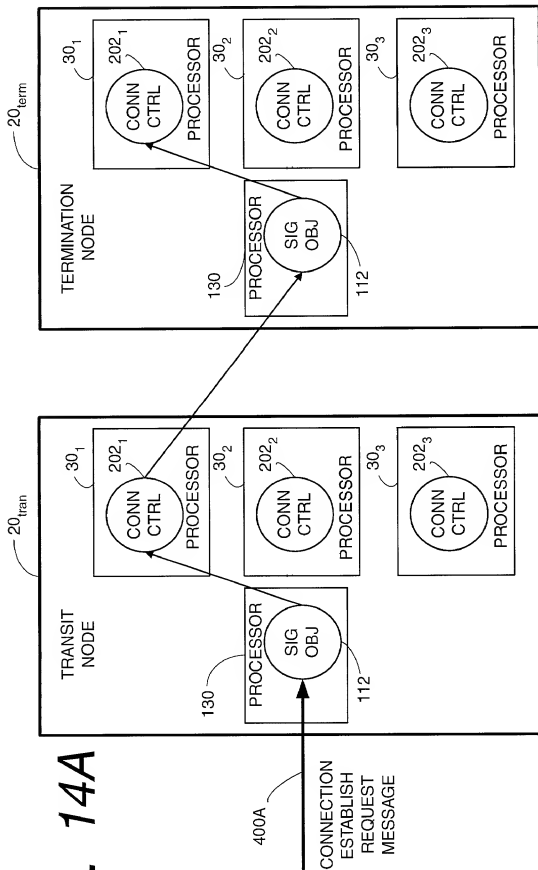


Fig. 14A

Fig. 14C-1

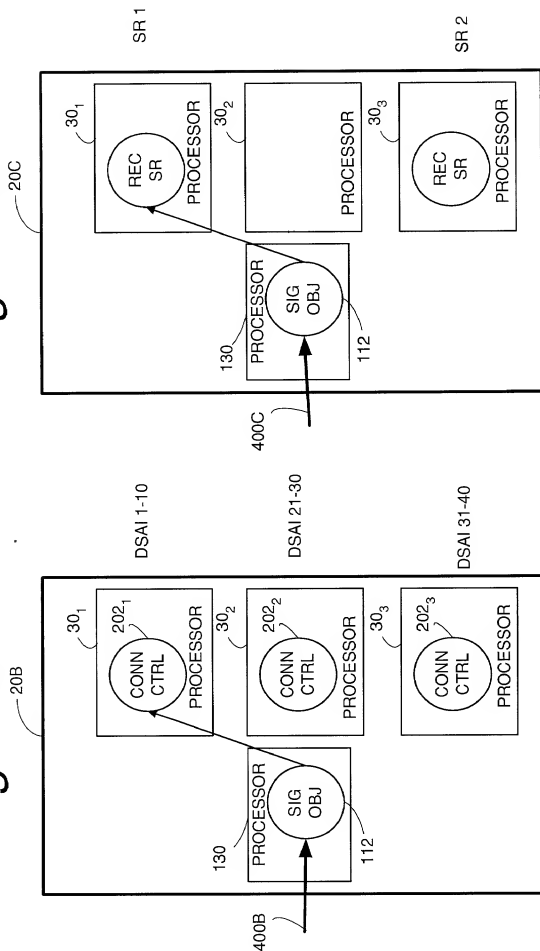


Fig. 14C-2

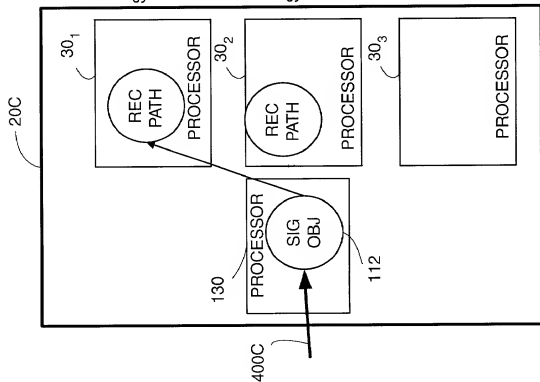


Fig. 14D

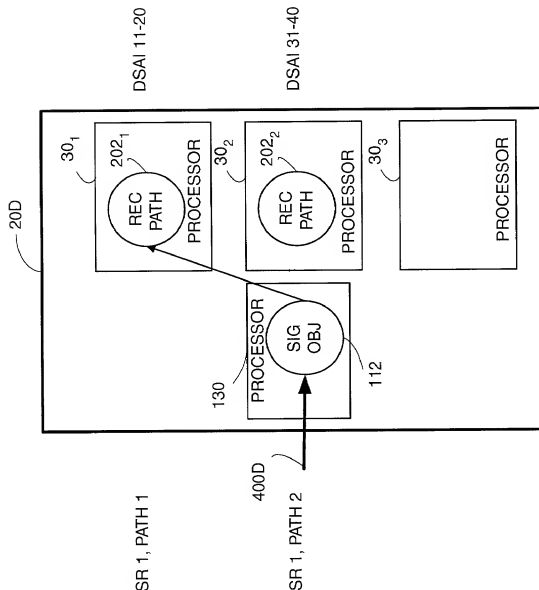


Fig. 14E

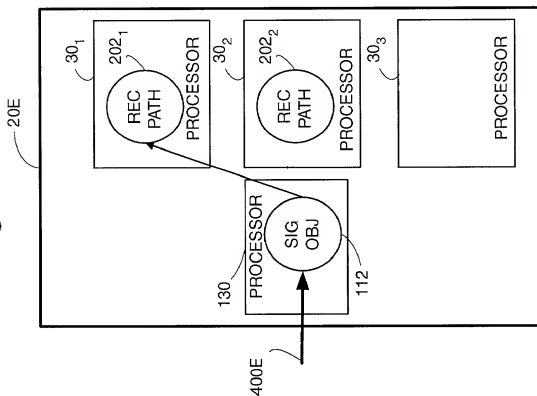


Fig. 14F

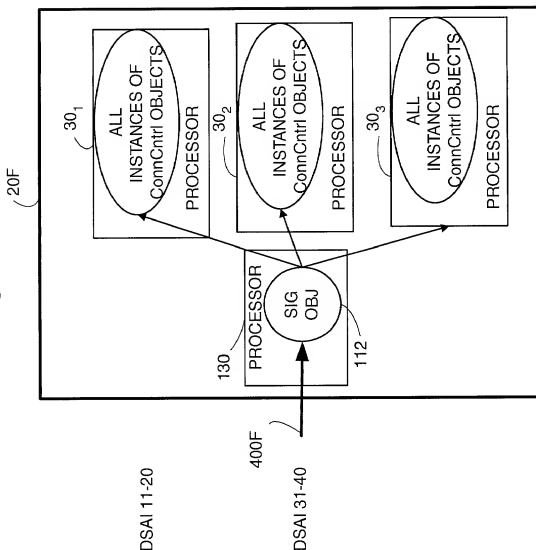


Fig. 15

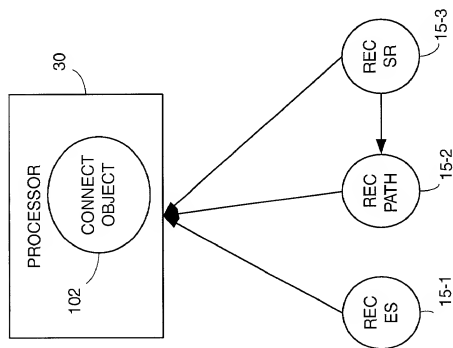


Fig. 16

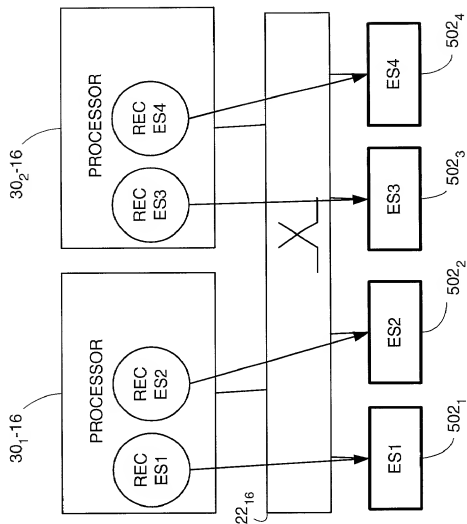


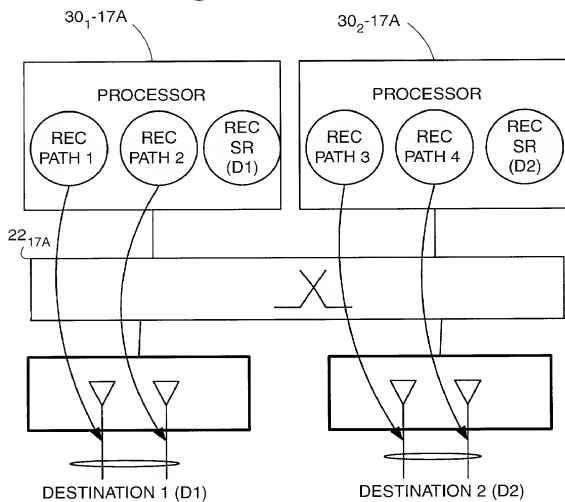
Fig. 17A

Fig. 17B

